

3 **Трейф, В. Б.** Конденсация ДНК, вызванная адсорбцией лигандов / В. Б. Трейф, Д. Ю. Ландо // Мол. биол. – 2001. – Т. 35, № 2. – С. 285–297.

4 **Лиманская, Л. А.** S-форма ДНК – суперспиральная ДНК с 1.94–2.19 Å расстоянием между парами оснований вдоль оси дуплекса / Л. А. Лиманская, А. П. Лиманский // Мол. биол. – 2006. – Т. 40, № 1. – С. 122–136.

5 **Yu, Yang Yang** Elastic theory of nucleosomal DNA / Yang Yang Yu, L. S. Couchman // Proc.R.Soc.Lond.A. – 1997. V.453. – P. 225–254.

6 **Бидерман, В. Л.** Определение натяжения стального каната, навитого на барабан грузоподъемного устройства / В. Л. Бидерман. М. : Машиниздат. – 1985. – Вып. 2. – С. 47–54.

Получено 30.05.2007

---

**ISBN 978-985-468-405-5. Механика. Научные исследования  
и учебно-методические разработки. Вып. 2. Гомель, 2008**

---

УДК 656.225.073.4

*О. В. КОЗУНОВА*

*Белорусский государственный университет транспорта, Гомель*

## **УЧЕТ НЕЛИНЕЙНОСТИ ОСНОВАНИЯ ПРИ ДЕФОРМИРОВАНИИ БАЛОК НА УПРУГОМ ОСНОВАНИИ**

Рассматривается упругая балка конечной длины на упругом физически нелинейном основании под действием нагрузки. Балка симметрична относительно вертикальной оси. Балка массивная, условия прилипания: без отрыва балки от основания. *Граничные условия задачи:* на границе расчетной области основания перемещения равны нулю; на поверхности основания, вне контакта балки с основанием, реактивные давления равны нулю. Нелинейность основания описывается функцией пластичности. Решение краевой задачи строится в перемещениях, численно, с использованием метода последовательных приближений.

Из практики известно, что грунты представляют собой *неоднородное* твердое тело. Поэтому зависимость между напряжениями и деформациями для большинства видов грунтов имеет явно *нелинейный* характер и грунты следует рассматривать как *нелинейно* деформируемую среду, подчиняющуюся общим закономерностям теории малых упругопластических деформаций, разработанной А. А. Ильюшиным, В. В. Соколовским [1, 2].

**Постановка краевой задачи.** Рассматривается упругая балка конечной длины  $2l$ , на упругом физически нелинейном основании под действием нагрузки  $q(x)$ ,  $P$ . Балка симметрична относительно оси  $Y$ , предполагаемая глина расчетной области  $h = 3l$  (рисунок 1).

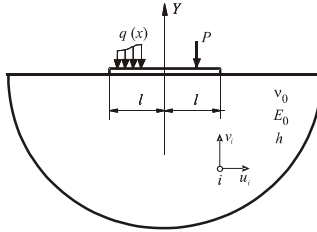


Рисунок 1 – Расчетная схема основания под нагруженной балкой

Между балкой и основанием возникают только нормальные напряжения (реактивные давления). Так как силы трения сцепления на контакте слоев малы, то ими пренебрегают. Балка массивная, условия прилипания: без отрыва балки от основания.

*Граничные условия задачи:* на границе расчетной области основания перемещения:  $u = 0, v = 0$ ; на поверхности основания, вне контакта балки с основанием, реактивные давления:  $P_x = P_y = 0$ .

Решение краевой задачи строится в перемещениях. *Искомые функции:*  $u_i(x), v_i(y)$  – проекции перемещения  $i$ -той точки основания на координатные оси;  $P_i(x, y)$  – реактивное давление  $i$ -той точки основания в зоне контакта балки с основанием;  $W_{ik}(x, y)$  – осадка  $k$  – того сечения балки в зоне контакта балки с  $i$ -той точки основания.

**Уравнения теории малых упругопластических деформаций.** Напряженно-деформированное состояние упругого основания – плоское, поэтому согласно гипотезам теории малых упругопластических деформаций [3] для решения плоской задачи теории пластичности используются следующие уравнения в напряжениях:

– уравнения равновесия

$$\frac{\partial \sigma_x}{\partial x} + \frac{\partial \tau_{xy}}{\partial y} + X = 0; \quad \frac{\partial \tau_{xy}}{\partial x} + \frac{\partial \sigma_y}{\partial y} + Y = 0; \quad (1)$$

– уравнение совместности деформаций

$$\frac{\partial^2 \varepsilon_x}{\partial y^2} + \frac{\partial^2 \varepsilon_y}{\partial x^2} = \frac{\partial^2 \gamma_{xy}}{\partial x \partial y}; \quad (2)$$

– физические уравнения, отражающие свойства упругопластического тела,

$$\sigma_x - \sigma_0 = \frac{2}{3} \cdot \frac{\sigma_i}{\varepsilon_i} \varepsilon_x; \quad \sigma_y - \sigma_0 = \frac{2}{3} \cdot \frac{\sigma_i}{\varepsilon_i} \varepsilon_y; \quad \tau_{xy} = \frac{\sigma_i}{3\varepsilon_i} \gamma_{xy}, \quad (3)$$

где  $\sigma_i$  – интенсивность напряжений;  $\varepsilon_i$  – интенсивность деформаций,  $\sigma_0$  – среднее напряжение;

– выражения для интенсивности деформаций и зависимость между интенсивностями деформаций и напряжений

$$\varepsilon_i = \frac{\sqrt{2}}{3} \sqrt{6(\varepsilon_x^2 + \varepsilon_y^2 + \varepsilon_x \varepsilon_y) + \frac{3}{2} \gamma_{xy}^2}; \quad \sigma_i = \Phi(\varepsilon_i), \quad (4)$$

где  $\Phi(\varepsilon_i)$  – зависимость между интенсивностями деформаций и напряжений. Вид этой функции зависит только от материала, а не от вида напряженного состояния тела [3].

**Вывод функции пластичности.** Зависимость  $\sigma_i = \Phi(\varepsilon_i)$  задается произвольно и имеет нелинейный характер, носит название закона нелинейной упругости. График зависимости  $\sigma_i = \Phi(\varepsilon_i)$  изображен на рисунке 2.

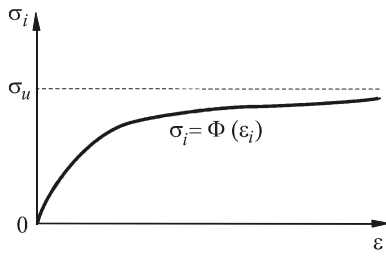


Рисунок 2 – Закон нелинейной упругости основания

Для упругого основания с учетом его нелинейности зависимость  $\sigma_i = \Phi(\varepsilon_i)$  выражается как

$$\sigma_i = E_0(1 - \omega_i) \varepsilon_i, \quad (5)$$

где  $\omega_i = \omega(\varepsilon_i)$  – функция интенсивности деформации, или *функция пластичности*;  $E_0$  – начальный модуль упругости основания.

Закон нелинейной упругости основания  $\sigma_i = \Phi(\varepsilon_i)$  задается в виде

$$\sigma_i = A \operatorname{th}(\alpha \varepsilon_i), \quad (6)$$

где  $A$ ,  $\alpha$  – коэффициенты, определяемые в ходе исследования функции  $\sigma_i = \Phi(\varepsilon_i)$ , а именно  $A = \sigma_u$ ,  $\alpha A = E_0$ ;  $\sigma_u$  – предел прочности основания.

После подстановки  $A$ ,  $\alpha$  зависимость (6) изменяется следующим образом

$$\sigma_i = \sigma_u \operatorname{th} \frac{E_0}{\sigma_u} \varepsilon_i. \quad (7)$$

Соотношение (7) приводится к виду (5), в результате чего функция пластичности выражается формулой

$$\omega_i = 1 - \frac{\sigma_u}{E_0 \varepsilon_i} \operatorname{th} \frac{\varepsilon_i E_0}{\sigma_u}. \quad (8)$$

**Метод упругих решений.** Рассматриваемая краевая задача содержит уравнения пластичности, решение которых в общем случае весьма сложно. Для решения такого типа нелинейной задачи используется метод упругих решений А. А. Ильюшина, который основан на принципе последовательных приближений. В первом приближении полагаем, что  $\omega_i^{(0)} = 0$ , и получаем упругое решение искомых функций.

Граничные условия задачи сформулированы в перемещениях, поэтому уравнения, необходимые для ее решения, выражаются также в перемещениях, и уравнения (1)–(4) приводятся к виду [3], а именно:

а) уравнения Ляме

$$(G + \lambda) \frac{\partial \theta}{\partial x} + G \nabla^2 u + X = G R_x; \quad (G + \lambda) \frac{\partial \theta}{\partial y} + G \nabla^2 v + Y = G R_y; \quad (9)$$

где  $\theta$  – относительное изменение объема,  $\theta = \varepsilon_x + \varepsilon_y$ ;  $G$  и  $\lambda$  – постоянные Ляме;  $R_x, R_y$  – члены правой части уравнений Ляме, содержащие  $\omega_i$ , причём

$$R_x = \omega_i \nabla^2 u + \frac{1}{3} \omega_i \frac{\partial \theta}{\partial x} + \frac{4}{3} \frac{\partial \omega_i}{\partial x} \frac{\partial u}{\partial x} - \frac{2}{3} \frac{\partial \omega_i}{\partial x} \frac{\partial v}{\partial y} + \frac{\partial \omega_i}{\partial y} \left( \frac{\partial u}{\partial y} + \frac{\partial v}{\partial x} \right);$$

$$R_y = \omega_i \nabla^2 v + \frac{1}{3} \omega_i \frac{\partial \theta}{\partial y} + \frac{4}{3} \frac{\partial \omega_i}{\partial y} \frac{\partial v}{\partial y} - \frac{2}{3} \frac{\partial \omega_i}{\partial y} \frac{\partial u}{\partial x} + \frac{\partial \omega_i}{\partial x} \left( \frac{\partial u}{\partial y} + \frac{\partial v}{\partial x} \right); \quad (10)$$

б) уравнения, связывающие напряжения и деформации в любой точке исследуемой области;

в) граничные условия:

$$P_{Nx} + T_x = \left( 2G \frac{\partial u}{\partial x} + \lambda \theta \right) l + G \left( \frac{\partial u}{\partial y} + \frac{\partial v}{\partial x} \right) m;$$

$$P_{Ny} + T_y = G \left( \frac{\partial u}{\partial y} + \frac{\partial v}{\partial x} \right) l + \left( 2G \frac{\partial u}{\partial x} + \lambda \theta \right) m, \quad (11)$$

где  $l, m$  – косинусы углов между соответствующими осями и нормалью к площадке;  $(P_{Nx} + T_x), (P_{Ny} + T_y)$  – поверхностные силы.

К уравнениям (10), (11) добавляем уравнение изгиба балки в контактной зоне

$$\frac{d^4 v_i}{dx^4} = - \frac{P_i - X_i}{EI_6}, \quad (12)$$

где  $P_i$  – реактивные давления;  $X_i$  – внешние объемные силы (в зоне контакта  $X_i \rightarrow Y_v$ );  $EI_6$  – жесткость балки при изгибе.

Сформулированная краевая задача решается методом конечных разностей (МКР), то есть заменой дифференциальных уравнений конечно-разностными аппроксимациями. Разбивка расчетной области представлена на рисунке 3. В настоящее время составлена программа на языке *Mathematica 5* для реализации указанного подхода, проводится ее апробация для получения численных результатов упругого решения.

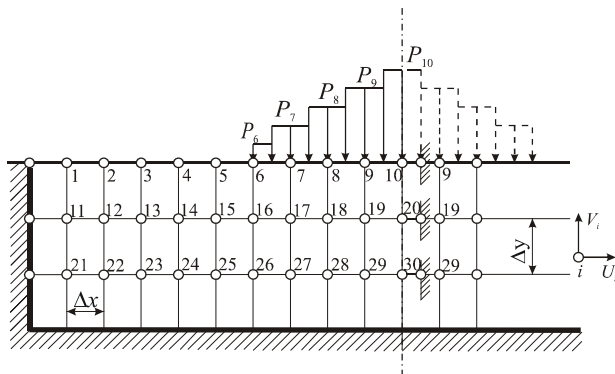


Рисунок 3 – Разбивка расчетной области

## СПИСОК ЛИТЕРАТУРЫ

- 1 **Винокуров, Е. Ф.** Итерационный метод расчета оснований и фундаментов / Е. Ф. Винокуров // Строительство и архитектура Белоруссии. – 1970. – № 1. – С. 31–34.
- 2 **Винокуров, Е. Ф.** Итерационный метод расчета балок и плит, лежащих на линейно и нелинейно деформируемом анизотропном основании / Е. Ф. Винокуров // Строительство и архитектура Белоруссии. – 1970. – № 3. – С. 26–28.
- 3 **Рындин, Н. И.** Краткий курс теории упругости и пластичности: учеб. пособие / Н. И. Рындин ; под ред. проф. В. С. Постоева. – Л. : изд-во Ленингр. ун-та, 1974. – 136 с.
- 4 **Машкова, О. В.** К расчету балок на упругом основании с учетом физической нелинейности основания / О. В. Машкова // VIII Республиканская научно-техническая конференция студентов и аспирантов. – Минск : БНТУ, 2003. – Ч. 4. – С. 72–73.
- 5 **Босаков, С. В.** Расчет балки на упругой физически нелинейной полуплоскости / С. В. Босаков, О. В. Машкова // Перспективы развития новых технологий в строительстве и подготовке инженерных кадров Республики Беларусь: междунар. сб. науч. тр. – Гомель : УО «БелГУТ», 2005. – С. 40–43.

Получено 20.12.2007